

## 第二章、研究方法與理論

本章將介紹本篇論文所用到的重要方法與理論。首先在 2-1 節中，我們將根據機器人學理論，推導出本論文的舉重機器手臂所用到的靜力與動力方程式。2-2 節介紹本篇論文最重要的理論—Dijkstra 演算法，說明並討論它的基本原理與重要的性質。在 2-3 節中將介紹 B-spline Curve 與 Curve Fitting 的一些基本理論。最後在 2-4 節，我們將介紹 3D 模擬程式常用到的 OpenGL 函式庫的簡介。

### 2.1 機器人學



由於當動力方程式中的所有角速度與角加速度都為零時，動力方程式即變為靜力方程式。所以在本節中我們將直接推導動力方程式，最後再將具角速度與角加速度的項去掉，即可另外求得靜力方程式。

#### 2.1.1 機器人動力學

我們首先必須建立機器人的連桿座標系，並定義相關參數。圖 2.1 為 Denavit-Hartenberg 方法描述各連桿間轉換矩陣中所用到的參數定義，其參數說明綜合如下：

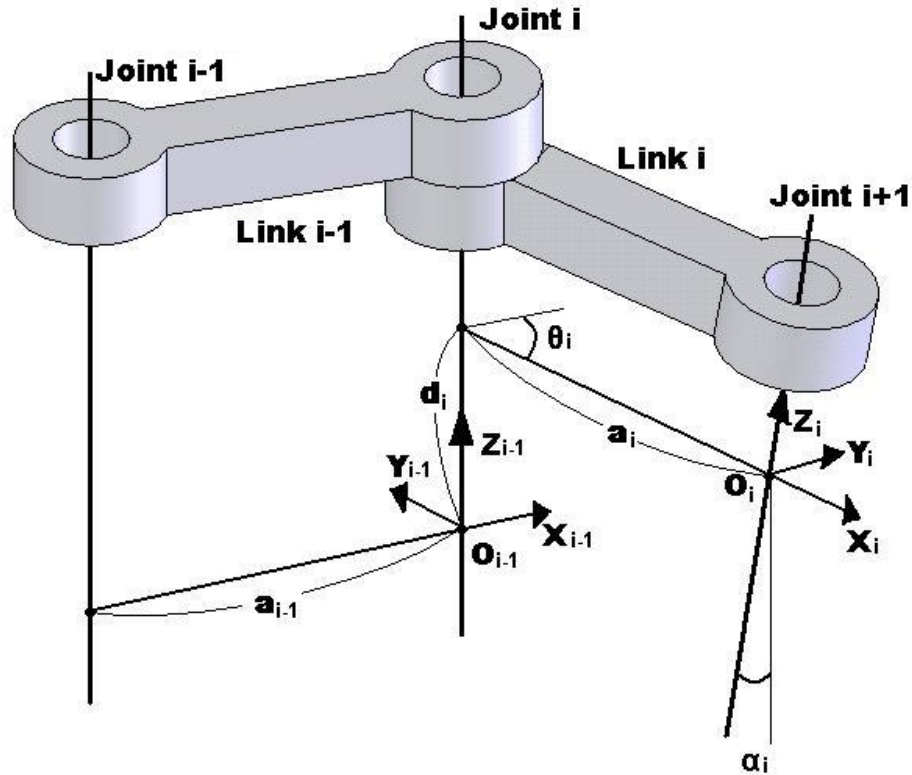


圖 2.1 Denavit-Hartenberg 參數定義圖

1.  $O_i$  : 第  $i$  座標系的原點位置。
2.  $Z_i$  : 為第  $i$  座標系的軸線向量。
3.  $X_i$  : 同時正交  $Z_i$  與  $Z_{i-1}$  的軸線向量，方向為由  $Z_{i-1}$  指向  $Z_i$ 。
4.  $Y_i$  : 同時正交  $Z_i$  與  $X_i$  的軸線向量。
5.  $a_{i-1}$  : 沿  $X_{i-1}$  軸所得的  $Z_i$  軸、 $Z_{i-1}$  軸間之距離。
6.  $\alpha_{i-1}$  : 繞  $X_i$  軸所得的  $Z_i$  與  $Z_{i-1}$  間之夾角。
6.  $d_i$  : 沿  $Z_{i-1}$  軸所得的  $X_i$  軸與  $X_{i-1}$  軸間之距離。
7.  $\theta_i$  : 繞  $Z_{i-1}$  軸所得的  $X_i$  軸與  $X_{i-1}$  軸間之夾角，即第  $i$  座標系相對於第  $i-1$  座標系的旋轉角度。
8.  ${}^{ci}I_i$  : 相對於第  $i$  桿質量中心的慣性張量。

9.  ${}^{i-1}r_i$  : 第  $i$  座標系相對於第  $i-1$  座標系的位置向量，即  $\overline{O_{i-1}O_i}$ 。
10.  ${}^i r_{ci}$  : 第  $i$  連桿的質量中心相對於第  $i$  座標系的位置向量。
11.  $\dot{\theta}_i$  : 第  $i$  座標系的角速度。
12.  $\ddot{\theta}_i$  : 第  $i$  座標系的角加速度。
13.  ${}^i \omega_i$  : 連桿  $i$  相對於第  $i$  座標系的角速度。
14.  ${}^i \dot{\omega}_i$  : 連桿  $i$  相對於第  $i$  座標系的角加速度。
15.  ${}^i v_i$  : 第  $i$  座標系的線加速度。
16.  ${}^i v_{ci}$  : 第  $i$  桿的質量中心相對於第  $i$  座標系的線加速度。
17.  ${}^i F_i$  : 作用於第  $i$  桿質量中心的淨力。
18.  ${}^i f_i$  : 作用於第  $i$  座標系的淨力。
19.  ${}^i N_i$  : 作用於第  $i$  桿質量中心的淨力矩。
20.  ${}^i n_i$  : 作用於第  $i$  座標系的淨力矩。
21.  ${}^i R_{i+1}$  : 第  $i+1$  座標系相對於第  $i$  座標系的旋轉矩陣。

### (1) 順向運算

我們首先計算每一連桿的角速度、角加速度、線速度和線加速度。這些物理量可以從總系統的原點推導到連桿的手端。對於系統的原點，我們通常令其速度為零，即  ${}^0 \omega_0 = {}^0 v_0 = {}^0 \dot{\omega}_0 = {}^0 \dot{v}_0 = 0$ ，則每一軸與連桿的速度與加速度計算公式如下：

$${}^i\omega_i = {}^iR_i \left( {}^{i-1}\omega_{i-1} + {}^{i-1}z_{i-1} \dot{\theta}_i \right) \quad (2-1)$$

$${}^i\dot{\omega}_i = {}^iR_{i-1} \left( {}^{i-1}\dot{\omega}_{i-1} + {}^{i-1}z_{i-1} \ddot{\theta}_i + {}^{i-1}\omega_{i-1} \times {}^{i-1}z_{i-1} \dot{\theta}_i \right) \quad (2-2)$$

$${}^i\dot{v}_i = {}^iR_{i-1} \left[ {}^i\dot{\omega}_i \times {}^{i-1}r_i + {}^{i-1}\omega_{i-1} \times ({}^{i-1}\omega_{i-1} \times {}^{i-1}r_i) + {}^{i-1}\dot{v}_{i-1} \right] \quad (2-3)$$

$${}^i\dot{v}_{ci} = {}^i\omega_i \times {}^i r_{ci} + {}^i\omega_i \times ({}^i\omega_i \times {}^i r_{ci}) + {}^i\dot{v}_i \quad (2-4)$$

其中：

$${}^{i-1}r_i = \begin{bmatrix} a_i \\ 0 \\ 0 \end{bmatrix} \quad \text{且} \quad {}^i r_{ci} = \begin{bmatrix} -a_i \\ 0 \\ 0 \end{bmatrix} \quad (2-5)$$

$${}^iR_{i-1} = \begin{bmatrix} c\theta_i & s\theta_i & 0 \\ -c\alpha_i s\theta_i & c\alpha_i c\theta_i & s\alpha_i \\ s\alpha_i s\theta_i & -s\alpha_i c\theta_i & c\alpha_i \end{bmatrix} \quad (2-6)$$

## (2) 反向運算

一旦每一連桿與軸的速度與加速度決定之後，我們可以開始計算每一連桿與軸的力與力矩大小。這些物理量的推導為反過來從連桿的手端到總系統的原點。

$${}^iF_i = m_i {}^i\dot{v}_{ci} \quad (2-7)$$

$${}^iN_i = {}^{ci}I_i {}^i\dot{\omega}_i + {}^i\omega_i \times {}^{ci}I_i {}^i\omega_i \quad (2-8)$$

$${}^i f_i = {}^iR_{i+1} {}^{i+1} f_{i+1} + {}^iF_i \quad (2-9)$$

$${}^i n_i = {}^iN_i + {}^iR_{i+1} {}^{i+1} n_{i+1} + {}^i r_{ci} \times {}^iF_i + {}^i r_{i+1} \times {}^iR_{i+1} {}^{i+1} f_{i+1} \quad (2-10)$$

其中：

$${}^i R_{i+1} = \begin{bmatrix} c\theta_{i+1} & s\theta_{i+1} & 0 \\ -c\alpha_{i+1}s\theta_{i+1} & c\alpha_{i+1}c\theta_{i+1} & s\alpha_{i+1} \\ s\alpha_{i+1}s\theta_{i+1} & -s\alpha_{i+1}c\theta_{i+1} & c\alpha_{i+1} \end{bmatrix} \quad (2-11)$$

### 2.1.2 動力方程式的推導

接著我們開始推導平面運動之三連桿的動力方程式。這裡我們假設每一連桿的長度為  $L_i$ ，密度均勻且總質量為  $m_i$ ，（這裡各連桿的質量中心假設位於  $1/2$  連桿長度處）。其它參數如載重  $M$  與各軸角度  $\theta_1$ 、 $\theta_2$ 、 $\theta_3$  的表示如圖 2.1。對於三軸機器手臂的 Denavit-Hartenberg 參數如下表 2-1：

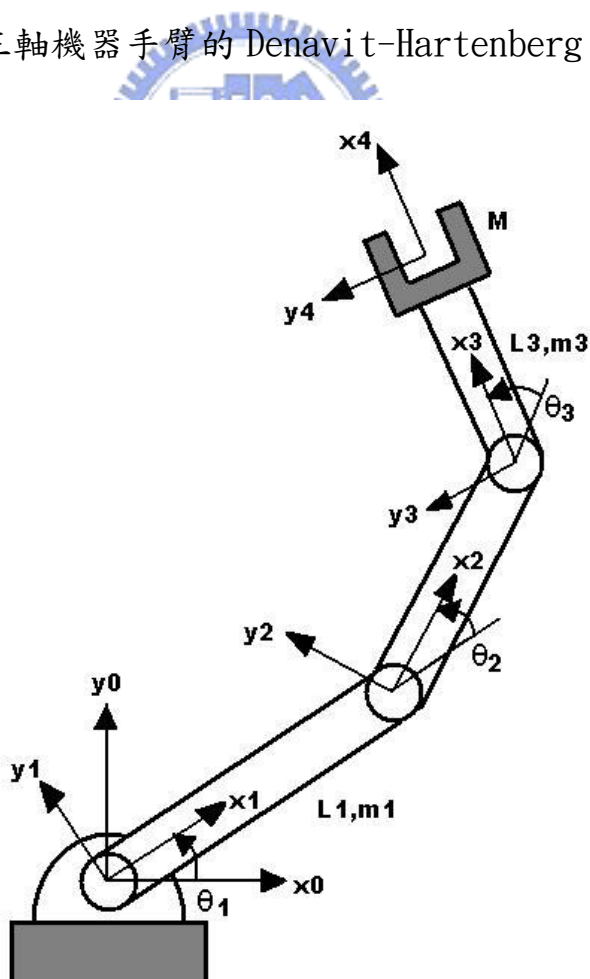


圖 2.2 三軸機器手臂幾何參數圖

表 2.1 三軸機器手臂的 Denavit-Hartenberg 參數表

| Joint | $\alpha_i$ | $a_i$ | $d_i$ | $\theta_i$ |
|-------|------------|-------|-------|------------|
| 1     | 0          | L1    | 0     | $\theta_1$ |
| 2     | 0          | L2    | 0     | $\theta_2$ |
| 3     | 0          | L3    | 0     | $\theta_3$ |

各連桿相對於質心之慣性張量分別如下：

$${}^c I_1 = \frac{m_1 l_1^2}{12} \begin{bmatrix} 0 & 0 & 0 \\ 0 & 1 & 0 \\ 0 & 0 & 1 \end{bmatrix} \quad (2-12)$$

$${}^c I_2 = \frac{m_2 l_2^2}{12} \begin{bmatrix} 0 & 0 & 0 \\ 0 & 1 & 0 \\ 0 & 0 & 1 \end{bmatrix} \quad (2-13)$$

$${}^c I_3 = \frac{m_3 l_3^2}{12} \begin{bmatrix} 0 & 0 & 0 \\ 0 & 1 & 0 \\ 0 & 0 & 1 \end{bmatrix} \quad (2-14)$$

而每一連桿之頂端與質心的位置向量  ${}^i r_i$  和  ${}^i r_{ci}$  分別如下：

$${}^1 r_1 = \begin{bmatrix} l_1 \\ 0 \\ 0 \end{bmatrix} \quad \text{且} \quad {}^1 r_{c1} = \begin{bmatrix} l_1 \\ 0 \\ 0 \end{bmatrix} \quad (2-15)$$

$${}^2 r_2 = \begin{bmatrix} l_2 \\ 0 \\ 0 \end{bmatrix} \quad \text{且} \quad {}^2 r_{c2} = \begin{bmatrix} l_2 \\ 0 \\ 0 \end{bmatrix} \quad (2-16)$$

$${}^3 r_3 = \begin{bmatrix} l_3 \\ 0 \\ 0 \end{bmatrix} \quad \text{且} \quad {}^3 r_{c3} = \begin{bmatrix} l_3 \\ 0 \\ 0 \end{bmatrix} \quad (2-17)$$

(a) 順向運算：接著我們首先計算第一連桿的速度與加速度。由於

${}^0\omega_0 = {}^0v_0 = \dot{{}^0\omega}_0 = \dot{{}^0v}_0 = 0$ ，所以我們可以得到：

$${}^1\omega_1 = \begin{bmatrix} 0 \\ 0 \\ \dot{\theta}_1 \end{bmatrix} \quad ; \quad {}^1\dot{\omega}_1 = \begin{bmatrix} 0 \\ 0 \\ \ddot{\theta}_1 \end{bmatrix} \quad (2-18)$$

$$\begin{aligned} {}^1\dot{v}_1 &= {}^1R_0 \left[ {}^0\dot{\omega}_0 \times {}^0r_1 + {}^0\omega_0 \times ({}^0\omega_0 \times {}^0r_1) + \dot{{}^0v}_0 \right] \\ &= \begin{bmatrix} c_1 & s_1 & 0 \\ -s_1 & c_1 & 0 \\ 0 & 0 & 1 \end{bmatrix} \begin{bmatrix} 0 \\ 0 \\ g \end{bmatrix} = \begin{bmatrix} gs_1 \\ gc_1 \\ 0 \end{bmatrix} \end{aligned} \quad (2-19)$$

$$\begin{aligned} {}^1\dot{v}_{c1} &= {}^1\dot{\omega}_1 \times {}^1r_{c1} + {}^1\omega_1 \times ({}^1\dot{\omega}_1 \times {}^1r_{c1}) + \dot{{}^1v}_1 \\ &= \begin{bmatrix} 0 \\ \frac{l_1}{2} \ddot{\theta}_1 \\ 0 \end{bmatrix} + \begin{bmatrix} -\frac{l_1}{2} \dot{\theta}_1^2 \\ 0 \\ 0 \end{bmatrix} + \begin{bmatrix} gs_1 \\ gc_1 \\ 0 \end{bmatrix} = \begin{bmatrix} -\frac{l_1}{2} \dot{\theta}_1^2 + gs_1 \\ \frac{l_1}{2} \ddot{\theta}_1 \\ 0 \end{bmatrix} \end{aligned} \quad (2-20)$$

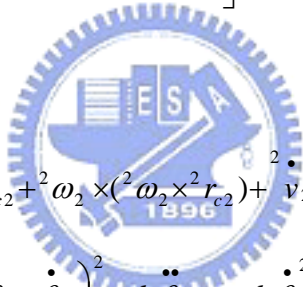
$${}^1F_1 = m_1 \dot{{}^1v}_{c1} = \begin{bmatrix} -\frac{m_1}{2} l_1 \dot{\theta}_1^2 + m_1 gs_1 \\ \frac{m_1}{2} l_1 \ddot{\theta}_1 + m_1 gc_1 \\ 0 \end{bmatrix} \quad (2-21)$$

$${}^1N_1 = {}^{c1}I_1 \dot{{}^1\omega}_1 + {}^1\omega_1 \times {}^{c1}I_1 \dot{{}^1\omega}_1 = \begin{bmatrix} 0 \\ 0 \\ \frac{m_1 l_1^2}{12} \ddot{\theta}_1 \end{bmatrix} \quad (2-22)$$

接著我們計算第二連桿的速度與加速度，我們可以得到：

$${}^2\omega_2 = \begin{bmatrix} 0 \\ 0 \\ \dot{\theta}_1 + \dot{\theta}_2 \end{bmatrix} ; \quad {}^2\dot{\omega}_2 = \begin{bmatrix} 0 \\ 0 \\ \ddot{\theta}_1 + \ddot{\theta}_2 \end{bmatrix} \quad (2-23)$$

$${}^2\dot{v}_2 = {}^2R_1 \begin{bmatrix} {}^1\dot{\omega}_1 \times {}^1r_2 + {}^1\omega_1 \times ({}^1\omega_1 \times {}^1r_2) + {}^1\dot{v}_1 \\ l_1 \ddot{\theta}_1 s_2 - l_1 \dot{\theta}_1^2 c_2 + g s_{12} \\ l_1 \ddot{\theta}_1 c_2 + l_1 \dot{\theta}_1^2 s_2 + g c_{12} \\ 0 \end{bmatrix} \quad (2-24)$$



$${}^2\dot{v}_{c2} = {}^2\omega_2 \times {}^2r_{c2} + {}^2\dot{\omega}_2 \times ({}^2\omega_2 \times {}^2r_{c2}) + {}^2\dot{v}_2$$

$$= \begin{bmatrix} -\frac{l_1}{2} (\dot{\theta}_1 + \dot{\theta}_2)^2 + l_1 \ddot{\theta}_1 s_2 - l_1 \dot{\theta}_1^2 c_2 + g s_{12} \\ \frac{l_1}{2} (\ddot{\theta}_1 + \ddot{\theta}_2) + l_1 \ddot{\theta}_1 c_2 + l_1 \dot{\theta}_1^2 s_2 + g c_{12} \\ 0 \end{bmatrix} \quad (2-25)$$

$${}^2F_2 = m_2 {}^2\dot{v}_{c2}$$

$$= \begin{bmatrix} -\frac{m_2}{2} l_2 (\dot{\theta}_1 + \dot{\theta}_2)^2 + m_2 l_1 \ddot{\theta}_1 s_2 - m_2 l_1 \dot{\theta}_1^2 c_2 + m_2 g s_{12} \\ \frac{m_2}{2} l_2 (\ddot{\theta}_1 + \ddot{\theta}_2) + m_2 l_1 \ddot{\theta}_1 c_2 + m_2 l_1 \dot{\theta}_1^2 s_2 + m_2 g c_{12} \\ 0 \end{bmatrix} \quad (2-26)$$

$${}^2N_2 = {}^{c^2}I_2 \begin{bmatrix} 0 \\ 0 \\ \frac{m_2 l_2^2}{12} (\ddot{\theta}_1 + \ddot{\theta}_2) \end{bmatrix} \quad (2-27)$$

最後計算第三連桿的速度與加速度，我們可以得到：

$${}^3\omega_3 = \begin{bmatrix} 0 \\ 0 \\ \dot{\theta}_1 + \dot{\theta}_2 + \dot{\theta}_3 \end{bmatrix} ; \quad {}^3\dot{\omega}_3 = \begin{bmatrix} 0 \\ 0 \\ \ddot{\theta}_1 + \ddot{\theta}_2 + \ddot{\theta}_3 \end{bmatrix} \quad (2-28)$$

$${}^3\dot{v}_3 = {}^3R_2 \begin{bmatrix} {}^2\dot{\omega}_2 \times r_3 + {}^2\omega_2 \times ({}^2\omega_2 \times r_3) + v_2 \\ l_1 \ddot{\theta}_1 s_{23} - l_1 \dot{\theta}_1^2 c_{23} - l_2 c_3 (\dot{\theta}_1 + \dot{\theta}_2)^2 + l_2 s_3 (\ddot{\theta}_1 + \ddot{\theta}_2 + \ddot{\theta}_3) \\ + g s_{123} \\ l_1 \ddot{\theta}_1 c_{23} + l_1 \dot{\theta}_1^2 s_{23} + l_2 s_3 (\dot{\theta}_1 + \dot{\theta}_2)^2 + l_2 c_3 (\ddot{\theta}_1 + \ddot{\theta}_2 + \ddot{\theta}_3) \\ + g c_{123} \\ 0 \end{bmatrix} \quad (2-29)$$

$$\begin{aligned}
{}^3\dot{v}_{c3} &= {}^3\dot{\omega}_3 \times {}^3r_{c3} + {}^3\dot{\omega}_3 \times ({}^3\dot{\omega}_3 \times {}^3r_{c3}) + {}^3\dot{v}_3 \\
&= \begin{bmatrix} l_1 \ddot{\theta}_1 s_{23} - l_1 \dot{\theta}_1^2 c_{23} - l_2 c_3 \left( \dot{\theta}_1 + \dot{\theta}_2 \right)^2 + l_2 s_3 \left( \ddot{\theta}_1 + \ddot{\theta}_2 \right) \\ -\frac{l_3}{2} \left( \dot{\theta}_1 + \dot{\theta}_2 + \dot{\theta}_3 \right)^2 + g s_{123} \\ l_1 \ddot{\theta}_1 c_{23} + l_1 \dot{\theta}_1^2 s_{23} + l_2 s_3 \left( \dot{\theta}_1 + \dot{\theta}_2 \right)^2 + l_2 c_3 \left( \ddot{\theta}_1 + \ddot{\theta}_2 \right) \\ +\frac{l_3}{2} \left( \ddot{\theta}_1 + \ddot{\theta}_2 + \ddot{\theta}_3 \right) + g c_{123} \\ 0 \end{bmatrix} \quad (2-30)
\end{aligned}$$

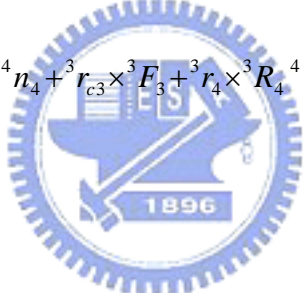
$$\begin{aligned}
{}^3F_3 &= m_3 {}^3\dot{v}_{c3} + M {}^3\dot{v}_3 \\
&= \begin{bmatrix} (m_3 + M) l_1 \ddot{\theta}_1 s_{23} - (m_3 + M) l_1 \dot{\theta}_1^2 c_{23} - (m_3 + M) l_2 c_3 \left( \dot{\theta}_1 + \dot{\theta}_2 \right)^2 \\ + (m_3 + M) l_2 s_3 \left( \ddot{\theta}_1 + \ddot{\theta}_2 \right) - \left( \frac{m_3}{2} + M \right) l_3 \left( \dot{\theta}_1 + \dot{\theta}_2 + \dot{\theta}_3 \right)^2 \\ + (m_3 + M) g s_{123} \\ (m_3 + M) l_1 \ddot{\theta}_1 c_{23} + (m_3 + M) l_1 \dot{\theta}_1^2 s_{23} + (m_3 + M) l_2 s_3 \left( \dot{\theta}_1 + \dot{\theta}_2 \right)^2 \\ + (m_3 + M) l_2 c_3 \left( \ddot{\theta}_1 + \ddot{\theta}_2 \right) + \left( \frac{m_3}{2} + M \right) l_3 \left( \ddot{\theta}_1 + \ddot{\theta}_2 + \ddot{\theta}_3 \right) \\ + (m_3 + M) g c_{123} \\ 0 \end{bmatrix} \quad (2-31)
\end{aligned}$$

$${}^3N_3 = {}^{c3}I_3 \cdot {}^3\omega_3 + {}^3\omega_3 \times {}^{c3}I_3 {}^3\omega_3 = \begin{bmatrix} 0 \\ 0 \\ \frac{m_3 l_3^2}{12} (\ddot{\theta}_1 + \ddot{\theta}_2 + \ddot{\theta}_3) \end{bmatrix} \quad (2-32)$$

(b) 反向運算：對於力與力矩的計算，我們首先計算第三連桿的力與力矩值；接著計算第二連桿的力與力矩值，最後是第一連桿的力與力矩值；因此首先我們計算第三連桿的力與力矩值。由於 ${}^4f_4=0$ ，所以我們可以得到：

$${}^3f_3 = {}^3R_4 {}^4f_4 + {}^3F_3 = {}^3F_3 \quad (2-33)$$

$${}^3n_3 = {}^3N_3 + {}^3R_4 {}^4n_4 + {}^3r_{c3} \times {}^3F_3 + {}^3r_4 \times {}^3R_4 {}^4f_4$$



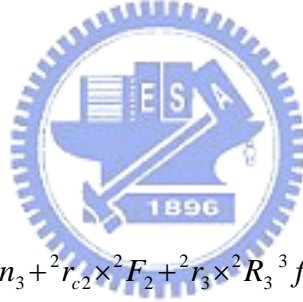
$$= \begin{bmatrix} 0 \\ 0 \\ \frac{m_3 l_3^2}{12} (\ddot{\theta}_1 + \ddot{\theta}_2 + \ddot{\theta}_3) + \left(\frac{m_3}{2} + M\right) l_1 l_3 \ddot{\theta}_1 c_{23} + \left(\frac{m_3}{2} + M\right) l_3 g c_{123} \\ + \left(\frac{m_3}{2} + M\right) l_1 l_3 \dot{\theta}_1^2 s_{23} + \left(\frac{m_3}{2} + M\right) l_2 l_3 s_3 (\dot{\theta}_1 + \dot{\theta}_2)^2 \\ + \left(\frac{m_3}{2} + M\right) l_2 l_3 c_3 (\ddot{\theta}_1 + \ddot{\theta}_2) + \left(\frac{m_3}{4} + M\right) l_3^2 (\ddot{\theta}_1 + \ddot{\theta}_2 + \ddot{\theta}_3) \end{bmatrix} \quad (2-34)$$

接著我們計算第二連桿的力與力矩值，我們可以得到：

$${}^2f_2 = {}^2R_3 {}^3f_3 + {}^2F_2$$

$$\begin{aligned}
& \left[ \begin{aligned}
& -\frac{m_2}{2}l_2 \left( \dot{\theta}_1 + \dot{\theta}_2 \right)^2 + m_2l_1 \ddot{\theta}_1 s_2 - m_2l_1 \dot{\theta}_1^2 c_2 + \left( \frac{m_2}{2} \right) l_2 g s_{12} \\
& + (m_3 + M) l_1 \ddot{\theta}_1 s_2 - (m_3 + M) l_1 \dot{\theta}_1^2 c_2 - (m_3 + M) l_2 \left( \dot{\theta}_1 + \dot{\theta}_2 \right)^2 \\
& - \left( \frac{m_3}{2} + M \right) l_3 c_3 \left( \dot{\theta}_1 + \dot{\theta}_2 + \dot{\theta}_3 \right)^2 - \left( \frac{m_3}{2} + M \right) l_3 s_3 \left( \ddot{\theta}_1 + \ddot{\theta}_2 + \ddot{\theta}_3 \right) \\
& + (m_3 + M) l_2 g s_{12} \\
& = \frac{m_2}{2} l_2 \left( \ddot{\theta}_1 + \ddot{\theta}_2 \right) + m_2 l_1 \ddot{\theta}_1 c_2 + m_2 l_1 \dot{\theta}_1^2 s_2 + \left( \frac{m_2}{2} \right) l_2 g c_{12} \\
& + (m_3 + M) l_1 \ddot{\theta}_1 c_2 + (m_3 + M) l_1 \dot{\theta}_1^2 s_2 + (m_3 + M) l_2 \left( \ddot{\theta}_1 + \ddot{\theta}_2 \right) \\
& - \left( \frac{m_3}{2} + M \right) l_3 s_3 \left( \dot{\theta}_1 + \dot{\theta}_2 + \dot{\theta}_3 \right)^2 + \left( \frac{m_3}{2} + M \right) l_3 c_3 \left( \ddot{\theta}_1 + \ddot{\theta}_2 + \ddot{\theta}_3 \right) \\
& + (m_3 + M) l_2 g c_{12} \\
& 0
\end{aligned} \right]
\end{aligned}$$

(2-35)



$${}^2n_2 = {}^2N_2 + {}^2R_3 {}^3n_3 + {}^2r_{c_2} \times {}^2F_2 + {}^2r_3 \times {}^2R_3 {}^3f_3$$

$$\begin{aligned}
& \left[ \begin{aligned}
& 0 \\
& 0 \\
& \frac{m_2 l_2^2}{12} \left( \ddot{\theta}_1 + \ddot{\theta}_2 \right) + \frac{m_3 l_3^2}{12} \left( \ddot{\theta}_1 + \ddot{\theta}_2 + \ddot{\theta}_3 \right) + \left( \frac{m_3}{2} + M \right) l_1 l_3 \ddot{\theta}_1 c_{23} \\
& + \left( \frac{m_3}{2} + M \right) l_3 g c_{123} + \left( \frac{m_3}{2} + M \right) l_1 l_3 \dot{\theta}_1^2 s_{23} \\
& + \left( \frac{m_3}{2} + M \right) l_2 l_3 s_3 \left( \dot{\theta}_1 + \dot{\theta}_2 \right)^2 + \left( \frac{m_3}{2} + M \right) l_2 l_3 c_3 \left( \ddot{\theta}_1 + \ddot{\theta}_2 \right) \\
& + \left( \frac{m_3}{4} + M \right) l_3^2 \left( \ddot{\theta}_1 + \ddot{\theta}_2 + \ddot{\theta}_3 \right) + \frac{m_2 l_2^2}{4} \left( \ddot{\theta}_1 + \ddot{\theta}_2 \right) + \frac{m_2}{2} l_1 l_2 \ddot{\theta}_1 c_2 \\
& + \frac{m_2}{2} l_1 l_2 \dot{\theta}_1^2 s_2 + \frac{m_2}{2} l_2 g c_{12} + (m_3 + M) l_1 l_2 \ddot{\theta}_1 c_2 + (m_3 + M) l_2 g c_{12} \\
& + (m_3 + M) l_1 l_2 \dot{\theta}_1^2 s_2 + (m_3 + M) l_2^2 \left( \ddot{\theta}_1 + \ddot{\theta}_2 \right) \\
& - \left( \frac{m_3}{2} + M \right) l_2 l_3 s_3 \left( \dot{\theta}_1 + \dot{\theta}_2 + \dot{\theta}_3 \right)^2 + \left( \frac{m_3}{2} + M \right) l_2 l_3 c_3 \left( \ddot{\theta}_1 + \ddot{\theta}_2 + \ddot{\theta}_3 \right)
\end{aligned} \right]
\end{aligned}$$

(2-36)

最後我們計算第一連桿的力與力矩值，我們可以得到：

$${}^1n_1 = {}^1N_1 + {}^1R_2 {}^2n_2 + {}^1r_{c1} \times {}^1F_1 + {}^1r_2 \times {}^1R_2 {}^2f_2$$

$$\begin{aligned}
 & \begin{bmatrix} 0 \\ 0 \\ \frac{m_1 l_1^2}{12} \ddot{\theta}_1 + \frac{m_2 l_2^2}{12} (\ddot{\theta}_1 + \ddot{\theta}_2) + \frac{m_3 l_3^2}{12} (\ddot{\theta}_1 + \ddot{\theta}_2 + \ddot{\theta}_3) + (\frac{m_3}{2} + M) l_1 l_3 \ddot{\theta}_1 c_{23} \\ + (\frac{m_3}{2} + M) l_3 g c_{123} + (\frac{m_3}{2} + M) l_1 l_3 \dot{\theta}_1^2 s_{23} + (\frac{m_3}{2} + M) l_2 l_3 s_3 (\dot{\theta}_1 + \dot{\theta}_2)^2 \\ + (\frac{m_3}{2} + M) l_2 l_3 c_3 (\ddot{\theta}_1 + \ddot{\theta}_2) + (\frac{m_3}{4} + M) l_3^2 (\ddot{\theta}_1 + \ddot{\theta}_2 + \ddot{\theta}_3) \\ + \frac{m_2 l_2^2}{4} (\ddot{\theta}_1 + \ddot{\theta}_2) + \frac{m_2}{2} l_1 l_2 \ddot{\theta}_1 c_2 + \frac{m_2}{2} l_1 l_2 \dot{\theta}_1^2 s_2 + \frac{m_2}{2} l_2 g c_{12} \\ + (m_3 + M) l_1 l_2 \ddot{\theta}_1 c_2 + (m_3 + M) l_2 g c_{12} + (m_3 + M) l_1 l_2 \dot{\theta}_1^2 s_2 \\ + (m_3 + M) l_2^2 (\ddot{\theta}_1 + \ddot{\theta}_2) - (\frac{m_3}{2} + M) l_2 l_3 s_3 (\dot{\theta}_1 + \dot{\theta}_2 + \dot{\theta}_3)^2 \\ + (\frac{m_3}{2} + M) l_2 l_3 c_3 (\ddot{\theta}_1 + \ddot{\theta}_2 + \ddot{\theta}_3) + \frac{m_1}{4} l_1^2 \ddot{\theta}_1 + \frac{m_1}{2} l_1 g c_1 \\ + \frac{m_2}{2} l_1 l_2 c_2 (\ddot{\theta}_1 + \ddot{\theta}_2) - \frac{m_2}{2} l_1 l_2 s_2 (\dot{\theta}_1 + \dot{\theta}_2)^2 + m_2 l_1^2 \ddot{\theta}_1 + m_2 l_1 g c_1 \\ + (m_3 + M) l_1^2 \ddot{\theta}_1 + (m_3 + M) l_1 g c_1 + (m_3 + M) l_1 l_2 c_2 (\ddot{\theta}_1 + \ddot{\theta}_2) \\ - (m_3 + M) l_1 l_2 s_2 (\dot{\theta}_1 + \dot{\theta}_2)^2 - (\frac{m_3}{2} + M) l_1 l_3 c_{23} (\dot{\theta}_1 + \dot{\theta}_2 + \dot{\theta}_3)^2 \\ + (\frac{m_3}{2} + M) l_1 l_3 c_{23} (\ddot{\theta}_1 + \ddot{\theta}_2 + \ddot{\theta}_3) \end{bmatrix} \quad (2-37)
 \end{aligned}$$

## 2.2 Dijkstra 演算法

Dijkstra演算法是由Edsger Wybe Dijkstra[6][7][8]於1959年提出的一個最短路徑演算法，也是目前公認求解最短路徑的高效經典演算法之一。例如Cheng等人[9]曾採用Dijkstra演算法，求解規劃任意三次元曲面兩點間最短路徑的問題。Dijkstra演算法可以保證求出某一節點到其他所有節點的最短路徑。目前最常用的最短路徑演算法—A\*演算法，其實也是

由Dijkstra演算法衍生而來。Dijkstra演算法與A\*演算法的優缺點在於：Dijkstra演算法具有最佳答案的保證性，但搜尋的空間與時間複雜度卻很大；反之，A\*演算法的空間與時間複雜度相對於Dijkstra演算法要小很多，但卻不能保證搜尋出的答案為最佳的。為了綜合這兩種方法的優缺點，我們將在第四章提出修正Dijkstra演算法的新方法。

Dijkstra 演算法的主要特點是以起始點為中心向外一層一層擴展，直到擴展到終點為止，所以 Dijkstra 演算法能夠求得最短路徑的最佳答案。Dijkstra 演算法一般對於節點的紀錄有兩種方式，一種用永久和臨時標號方式，一種是用 OPEN、CLOSE 表方式，在本篇論文中均採用 OPEN、CLOSE 表的方式。其搜尋過程簡介如下所述：

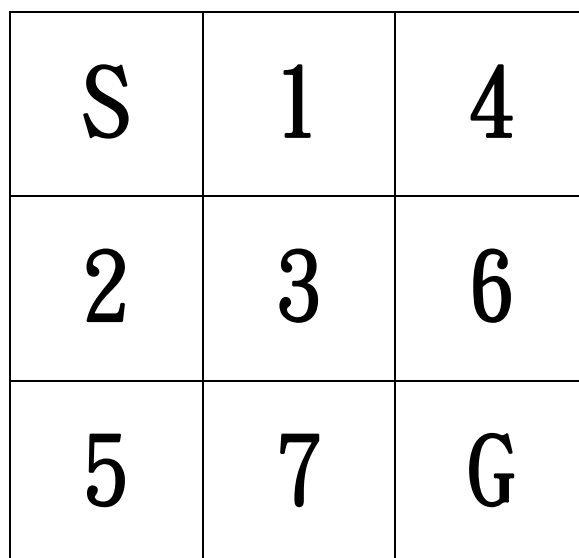
1. 建立兩個節點紀錄—OPEN 與 CLOSE。OPEN 表紀錄所有已生成而未選取過的節點，CLOSED 表中記錄已選取過的節點。
2. 計算起點的目標函數值，並把它放入 OPEN 表中等待檢查。
3. 從 OPEN 表中找出目標函數最小的節點，找出這個節點的所有子節點，並計算這些子節點的目標函數值。
  - (a) 若子節點已經在 OPEN 表中了，比較子節點新舊目標函數值，保留目標函數值較小的子節點資料。
  - (b) 若子節點已經在 CLOSE 表中了，比較子節點新舊目標函數值。若子節點的新目標函數值較小，更新子節點資料並重新加入 OPEN 表

中。

(c)不在 OPEN 表也不在 CLOSE 表中,則直接將子節點加入 OPEN 表中。

4. 重複第 3 步。直到挑選的節點為終點則完成搜尋；或是 OPEN 表裡沒有節點則表示沒有路徑可以到終點。

上述的節點資料包括：(1)節點的座標(2)節點的父節點座標：因為等到搜尋結束時，可以從終點回溯父節點到起點以得到路徑。(3)節點的目標函數值：每個節點的目標函數值為從父節點累加，所以當父節點改變時，節點可能會有不一樣的目標函數值。下面我們將舉一個簡單的例子示範 Dijkstra 演算法。如下圖 2.3 為一個  $3 \times 3$  的 2D 網格圖，每個網格到鄰近網格的距離均為 1。欲求 S 點到 G 點的最短路徑，以 Dijkstra 演算法求解的步驟如下。在下列參考範例中的  $(A_a, B)$ ，A 表示節點編號，a 表示 A 的父節點編號，B 表示節點 A 目前的目標函數值：



|   |   |   |
|---|---|---|
| S | 1 | 4 |
| 2 | 3 | 6 |
| 5 | 7 | G |

圖 2.3  $3 \times 3$  的 2D 網格圖

(1) 挑選： $(S, 0)$

子節點： $(1_s, 1), (2_s, 1), (3_s, 1)$

OPEN 表： $(1_s, 1), (2_s, 1), (3_s, 1)$

CLOSE 表： $(S, 0)$

(2) 挑選： $(1_s, 1)$

子節點： $(s_1, 1), (2_1, 2), (3_1, 2), (4_1, 2), (6_1, 2)$

OPEN 表： $(2_s, 1), (3_s, 1), (4_1, 2), (6_1, 2)$

CLOSE 表： $(S, 0), (1_s, 1)$

(3) 挑選： $(2_s, 1)$

子節點： $(s_2, 2), (1_2, 2), (3_2, 2), (5_2, 2), (7_2, 2)$

OPEN 表： $(3_s, 1), (4_1, 2), (5_2, 2), (6_1, 2), (7_2, 2)$

CLOSE 表： $(S, 0), (1_s, 1), (2_s, 1)$

(4) 挑選： $(3_s, 1)$

子節點： $(s_3, 2), (1_3, 2), (2_3, 2), (4_3, 2), (5_3, 2),$

$(6_3, 2), (7_3, 2), (G_3, 2)$

OPEN 表： $(4_1, 2), (5_2, 2), (6_1, 2), (7_2, 2), (G_3, 2)$

CLOSE 表： $(S, 0), (1_s, 1), (2_s, 1), (3_s, 1)$

(5) 挑選： $(4_1, 2)$

子節點： $(1_4, 3), (3_4, 3), (6_4, 3)$

OPEN 表： $(5_2, 2), (6_1, 2), (7_2, 2), (G_3, 2)$

CLOSE 表： $(S, 0), (1_s, 1), (2_s, 1), (3_s, 1), (4_1, 2)$

(6) 挑選： $(5_2, 2)$

子節點： $(2_5, 3), (3_5, 3), (7_5, 3)$

OPEN 表： $(6_1, 2), (7_2, 2), (G_3, 2)$

CLOSE 表： $(S, 0), (1_s, 1), (2_s, 1), (3_s, 1), (4_1, 2), (5_2, 2)$

(7) 挑選： $(6_1, 2)$

子節點： $(1_6, 3), (3_6, 3), (4_6, 3), (7_6, 3), (G_6, 3)$

OPEN 表： $(7_2, 2), (G_3, 2)$

CLOSE 表： $(S, 0), (1_s, 1), (2_s, 1), (3_s, 1), (4_1, 2), (5_2, 2), (6_1, 2)$

(8) 挑選： $(7_2, 2)$

子節點： $(2_7, 3), (3_7, 3), (5_7, 3), (6_7, 3), (G_7, 3)$

OPEN 表： $(G_3, 2)$

CLOSE 表： $(S, 0), (1_s, 1), (2_s, 1), (3_s, 1), (4_1, 2), (5_2, 2),$

$(6_1, 2), (7_2, 2)$

(9) 挑選： $(G_3, 2) \Rightarrow$  挑選到終點，則搜尋結束。

(10) 從終點回溯各節點的父節點直到起點為止： $(G_3, 2) \rightarrow (3_s, 1) \rightarrow (S, 0)$

則搜尋結果之最短路徑： $S \rightarrow 3 \rightarrow G$

有關 Dijkstra 演算法的詳細搜尋流程，可參考圖 2.4 所示：

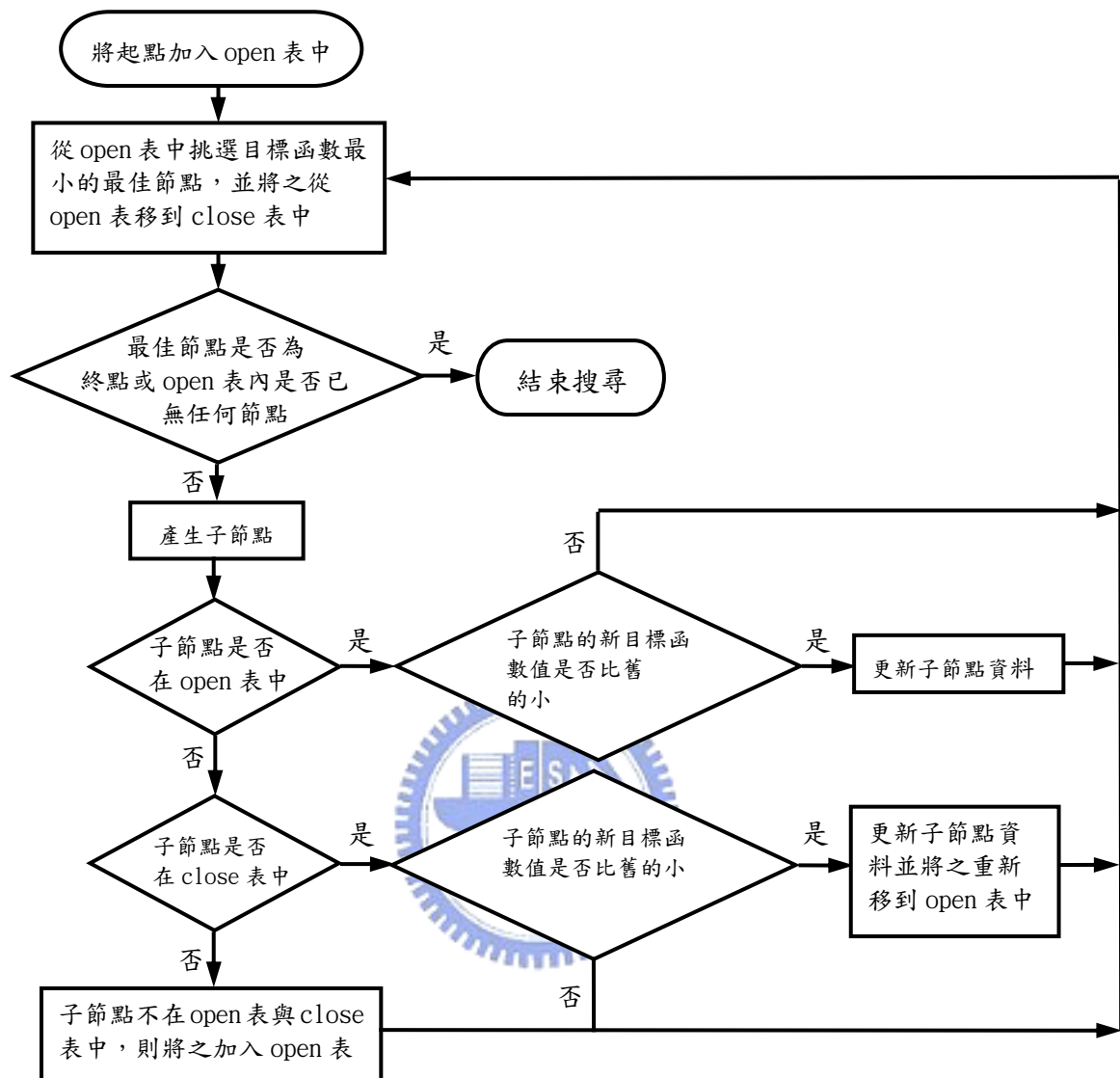


圖 2.4 Dijkstra 演算法流程圖

接著我們以兩個 2D 平面空間最短路徑規劃的例子，來展示 Dijkstra 演算法的成果，如下面圖 2.5 與圖 2.6 所示。其中圖 2.5 為無障礙範例，而圖 2.6 為具障礙物範例。在圖中有顏色的格子為在搜尋中，有被討論到的格子；而顏色越深者表示目標函數值越小、離起點越近，反之則越大。



## 2.3 B-spline Curve

### 2.3.1 B-spline Curve 的基本理論

1972年，Cox和de Boor[10][11]提出一種新的基底函數 $N_{i,k}(u)$ 來作為曲線的描述基礎。由這種新的基底函數所構成的曲線，我們就稱為B-spline曲線。其遞迴公式如下：

$$P(u) = \sum_{j=0}^n P_j N_{i,k}(u) \quad t_{k-1} \leq u \leq t_{n+1} \quad (2-38)$$

其中：

$$N_{i,k}(u) = \frac{(u-t_i)N_{i,k-1}(u)}{t_{i+k-1}-t_i} + \frac{(t_{i+k}-u)N_{i+1,k-1}(u)}{t_{i+k}-t_{i+1}} \quad (2-39)$$

$$N_{i,1}(u) = \begin{cases} 1 & t_i \leq u \leq t_{i+1} \\ 0 & \text{otherwise} \end{cases} \quad (2-40)$$

在上面三式中， $n$ 為控制點的數目減一， $P_j$ 為控制點的座標， $k$ 為方程式的階數(代表方程式為 $k-1$ 次方)， $u$ 稱為結點(knot)，而 $t_i$ 稱為結點值(knot values)。基底函數 $N_{i,k}(u)$ 的值由 $u$ 與 $t_i$ 的值決定，而 $u$ 的範圍由 $t_i$ 值決定。結點值( $t_i$ )有三種形式：uniform、open uniform 和 nonuniform。在本論文中我們使用 open uniform 的結點值( $t_i$ )，因為 open uniform 的結點值( $t_i$ )具有通過曲線起點與終點的性質，所以非常適合機器手臂路徑規劃的問題。open uniform 的結點值( $t_i$ )由式(2-41)決定：

$$t_i = \begin{cases} 0 & 0 \leq i < k \\ i-k+1 & k \leq i \leq n \\ n-k+2 & n < i \leq n+k \end{cases} \quad (2-41)$$

以下我們將示範一個建構 B-spline Curve 的例子。我們利用三個控制點  $P_0, P_1, P_2$  來定義一個三階 B-spline 曲線。根據式(2-41)我們先求  $t_i$  之值：

$$t_0=0, \quad t_1=0, \quad t_2=0, \quad t_3=1, \quad t_4=1, \quad t_5=1$$

接著我們根據式(2-40)求第一階基底函數  $N_{i,1}(u)$  的值：

$$N_{0,1}(u) = \begin{cases} 1 & t_0 \leq u \leq t_1 \\ 0 & \text{otherwise} \end{cases} \quad (u=0)$$

$$N_{1,1}(u) = \begin{cases} 1 & t_1 \leq u \leq t_2 \\ 0 & \text{otherwise} \end{cases} \quad (u=0)$$

$$N_{2,1}(u) = \begin{cases} 1 & t_2 \leq u \leq t_3 \\ 0 & \text{otherwise} \end{cases} \quad (u \leq 1)$$

$$N_{3,1}(u) = \begin{cases} 1 & t_3 \leq u \leq t_4 \\ 0 & \text{otherwise} \end{cases} \quad (u=1)$$

$$N_{4,1}(u) = \begin{cases} 1 & t_4 \leq u \leq t_5 \\ 0 & \text{otherwise} \end{cases} \quad (u=1)$$

對於第一階基底函數值的選擇中，我們令當  $t_i = t_{i+1}$  時， $N_{i,1}(u) = 0$ 。所以在此例中，只有  $N_{2,1}(u)$  在  $t_2 \leq u \leq t_3$  時，其值為 1，其他第一階基底函數的值永遠為零。當所有的第一階基底函數  $N_{i,1}(u)$  都求出之後，便可以求下一階的基底函數  $N_{i,2}(u)$ ，以此類推。而從第二階以後的基底函數就必須根據式(2.39) 求出，所以第二階的基底函數分別為：

$$N_{1,2}(u) = \frac{(u-t_1)N_{1,1}}{t_2-t_1} + \frac{(t_3-u)N_{2,1}}{t_3-t_2} = (1-u)$$

$$N_{2,2}(u) = \frac{(u-t_2)N_{2,1}}{t_3-t_2} + \frac{(t_4-u)N_{3,1}}{t_4-t_3} = u$$

同樣地，我們可以得到第三階基底函數  $N_{i,3}(u)$ ：

$$N_{0,3}(u) = \frac{(u-t_0)N_{0,2}}{t_3-t_1} + \frac{(t_3-u)N_{1,2}}{t_4-t_2} = (1-u)^2$$

$$N_{1,3}(u) = \frac{(u-t_1)N_{1,2}}{t_3-t_1} + \frac{(t_4-u)N_{2,2}}{t_4-t_2} = 2u(1-u)$$

$$N_{2,3}(u) = \frac{(u-t_2)N_{2,2}}{t_4-t_2} + \frac{(t_5-u)N_{3,2}}{t_5-t_2} = u^2$$

由於我們要的是三階 B-spline 曲線，所以當第三階基底函數  $N_{i,3}(u)$  求出後，我們就可以將  $N_{i,3}(u)$  與控制點  $(P_0, P_1, P_2)$  代入式(2-38)中來得到我們要的曲線方程式。

$$P(u) = (1-u)^2 P_0 + 2u(1-u)P_1 + u^2 P_2$$

以下我們實際撰寫一個程式(如圖 2.7)來驗證 B-spline Curve 理論。

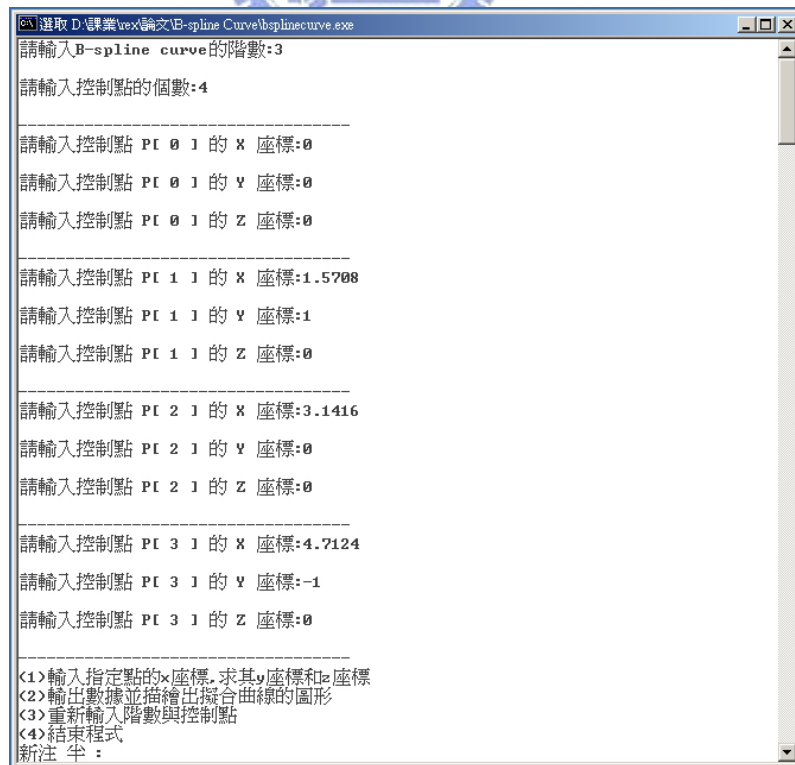


圖 2.7 B-spline Curve 程式執行畫面

下面將示範兩個範例，範例一是以五個控制點來擬合  $y = \sin x$ ， $0 \leq x \leq \pi$ ，如圖 2.8。而範例二是以十個控制點來擬合  $y = \cos x$ ， $0 \leq x \leq \pi$ ，如圖 2.9。由這兩個圖比較結果來看，在相同的範圍內控制點越多，則曲線擬合的效果越好。（範例說明：綠線部份為以三階 B-spline Curve 擬合之曲線；藍線部份為以四階 B-spline Curve 擬合之曲線；紅線部份為實際之曲線。）

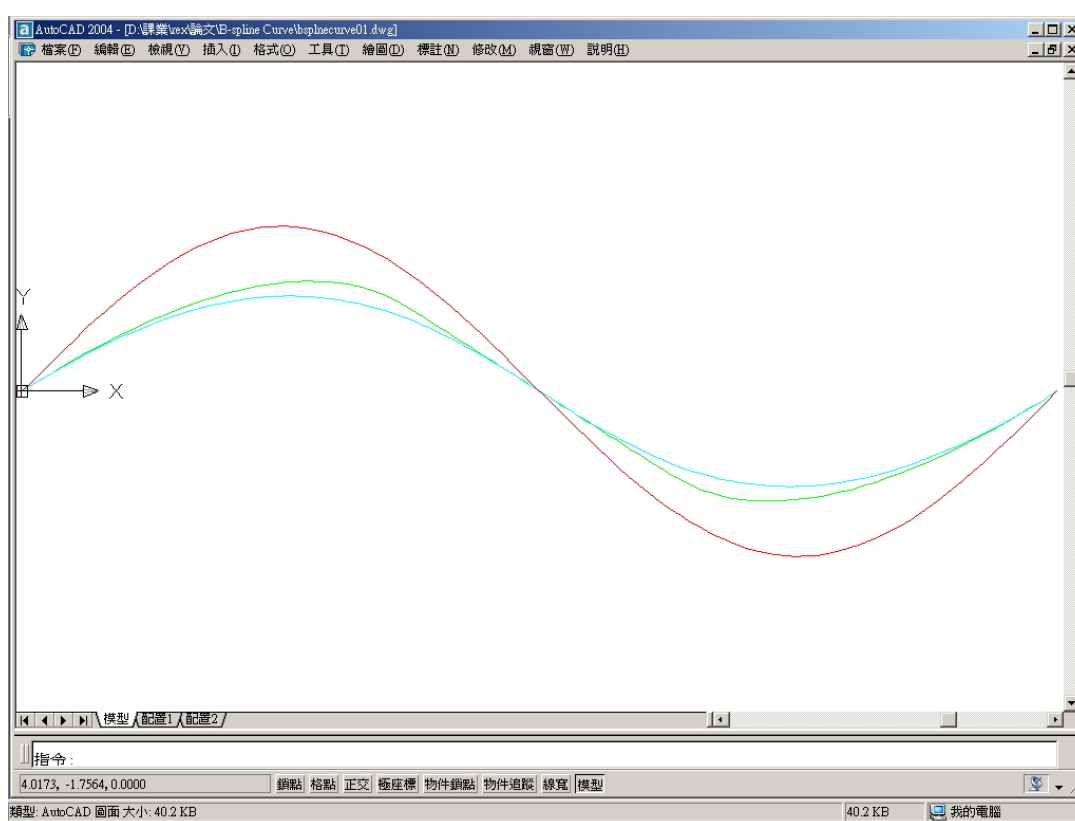


圖 2.8 B-spline Curve 之範例一(以五個控制點擬合  $y = \sin x$ )

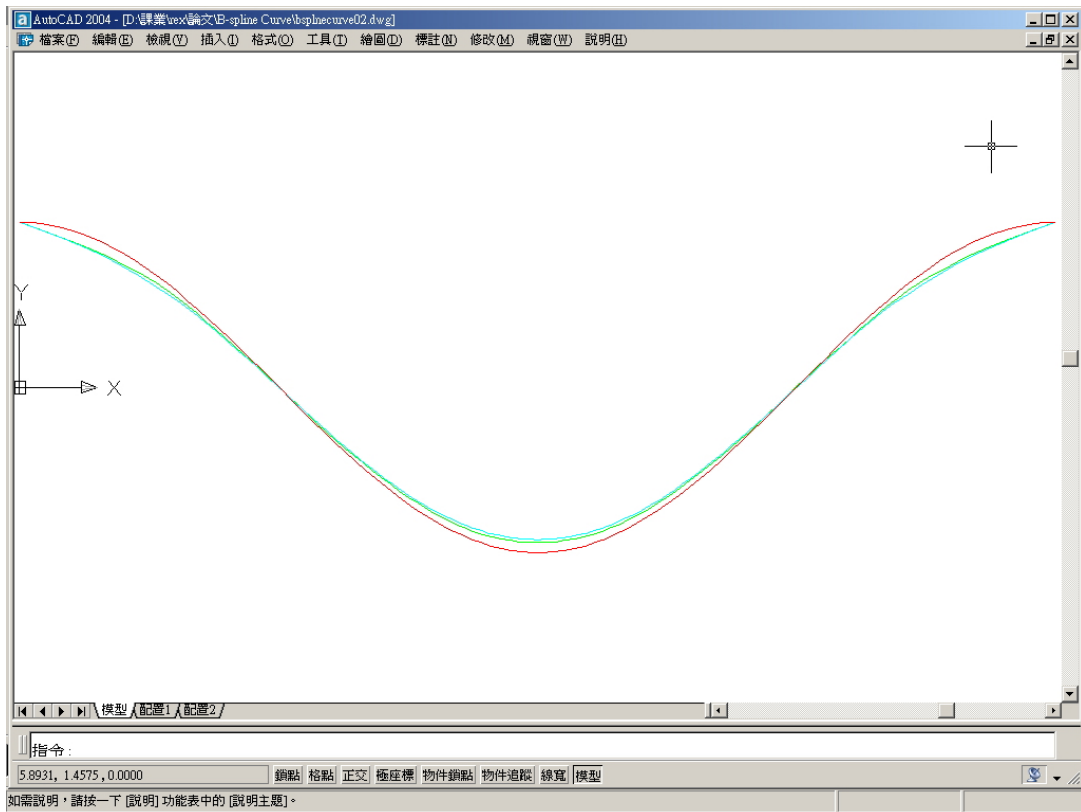


圖 2.9 B-spline Curve 之範例二(以十個控制點擬合  $y=\cos x$ )

### 2.3.2 B-spline Curve Fit

對於B-spline曲線，最大的缺點就是曲線不會通過控制點，即使是 open uniform 的 B-spline 曲線也只會通過起點與終點。為了能使我們建構出來的 B-spline 曲線都能通過控制點，我們必須找出另一組新控制點群，使由新控制點群所建構出來的 B-spline 曲線都能通過控制點。下面式(2-42)中， $P_j(u_j)$  表示 B-spline 曲線欲通過之控制點群， $B_n$  表示建構出來的 B-spline 曲線都能通過控制點的新控制點群， $N_{n,k}$  表示 B-spline 曲線的基底函數，n 為新控制點群的個數，k 為 B-spline 曲線的階數。

$$P_1(u_1) = N_{1,k}(u_1) \cdot B_1 + N_{2,k}(u_1) \cdot B_2 + \dots + N_{n,k}(u_1) \cdot B_n$$

$$P_2(u_2) = N_{1,k}(u_2) \cdot B_1 + N_{2,k}(u_2) \cdot B_2 + \dots + N_{n,k}(u_2) \cdot B_n$$

•  
•  
•

$$P_j(u_j) = N_{1,k}(u_j) \cdot B_1 + N_{2,k}(u_j) \cdot B_2 + \dots + N_{n,k}(u_j) \cdot B_n$$

$$\text{where } 2 < k < n \leq j \quad (2-42)$$

我們將式(2-42)簡化成矩陣可表為下面式(2-43)：

$$[P]_{j \times 1} = [N]_{j \times n} [B]_{n \times 1} \quad (2-43)$$

在式(2-43)中，如果  $j=n$ ，則表示矩陣  $[N]$  為一方陣。若矩陣  $[N]$  為一方陣，且  $[N]$  的行列式值不為零，則  $[N]$  具有反矩陣  $[N]^{-1}$ ；我們欲求新控制點群之矩陣  $[B]$ ，則將式(2-43)等式兩邊同乘  $[N]^{-1}$ ，即可得：

$$[N]_{n \times n}^{-1} [P]_{n \times 1} = [B]_{n \times 1} \quad (2-44)$$

如此我們就可以得到一組新控制點群  $[B]$ ，使由新控制點群所建構出來的 B-spline 曲線都能通過控制點群  $[P]$ 。倘若我們欲減少新控制點群的個數，使得  $n < j$ ，則矩陣  $[N]$  便不為一方陣，也不具反矩陣，這麼一來我們就不能利用式(2-44)來求得新控制點群  $[B]$ 。但若我們先將式(2-43)等式兩邊同乘  $[N]$  的轉置矩陣  $[N]^T$ ，我們可以將式(2-43)改為：

$$\begin{aligned} [N]_{n \times j}^T [P]_{j \times 1} &= [N]_{n \times j}^T [N]_{j \times n} [B]_{n \times 1} \\ \rightarrow [N^T P]_{n \times 1} &= [N^T N]_{n \times n} [B]_{n \times 1} \end{aligned} \quad (2-45)$$

如此  $[N^T N]$  即為一方陣，若  $[N^T N]$  的行列式值不為零，則  $[N^T N]$  具有反矩陣  $[N^T N]^{-1}$ 。我們欲求新控制點群之矩陣  $[B]$ ，則將式(2-45)等式兩邊同乘

$[N^T N]^{-1}$ ，即可得：

$$[N^T N]_{n \times n}^{-1} [N^T P]_{n \times 1} = [B]_{n \times 1} \quad (2-46)$$

對於式(2-42)中的  $u$  值該如何決定，我們採用的方法為以原控制點間的直線距離之比例來決定：

$$u_1 = 0$$
$$\frac{u_i}{u_{\max}} = \frac{\sum_{s=2}^i |P_s - P_{s-1}|}{\sum_{s=2}^j |P_s - P_{s-1}|} \quad (2-47)$$

其中  $u_{\max}$  的值則等於式(2-41)中的結點最大值  $t_{\max}$ 。

## 2.4 OpenGL 函式庫



OpenGL[12]是”Open Graphics Library”的縮寫，顧名思義它是開放的繪圖函式庫，只要不從事任何有關商業行為，它是可以被任意修改與使用的。基本上，它是 3D 繪圖與模型程式庫，即一種 3D API。OpenGL 不像是 C 或 C++ 那樣的程式語言，它比較像是 C 執行時期的程式庫(runtime library)。OpenGL 是與硬體無關的軟體介面，可以在不同的平臺如 Windows、Unix、Linux、MacOS、OS/2 之間進行移植。因此，支援 OpenGL 的軟體具有很好的移植性，可以獲得非常廣泛的應用。OpenGL 使用了由 Silicon Graphics 公司所研發且最佳化的演算法，該公司是世界上電腦繪圖與動畫領域的領導者。OpenGL 有許多用途，從 CAD 工程與建築應用到熱門電影中擬真的動畫繪製。雖然 MicroSoft 的 DirectX 在遊戲類市場全面

領先，但在專業高級繪圖領域，OpenGL 依然是不能被取代的主角。

在本論文中，我們使用 DEV C++來從事模擬程式的撰寫。DEV C++目前為免費使用的 C/C++編譯軟體，它具有多平台、多語言的版本，使用者可以免費從官方網頁下載最新版本。另外，我們所使用的電腦軟硬體規格，整理成下面表 2.2 所示，以供比較參考：

表 2.2 本論文所使用的電腦軟硬體規格

| 硬體名稱      | 規格                                  |
|-----------|-------------------------------------|
| 主機板       | MSI KT2 Combo (MS-6764)             |
| CPU       | AMD Duron XP, 1200 MHz              |
| 記憶體       | DDR400 512MB                        |
| 顯示卡       | Asus V3800M TV Video Adapter 32MB   |
| 作業系統      | Microsoft Windows 2000 Professional |
| OpenGL 版本 | 1.3.1                               |